



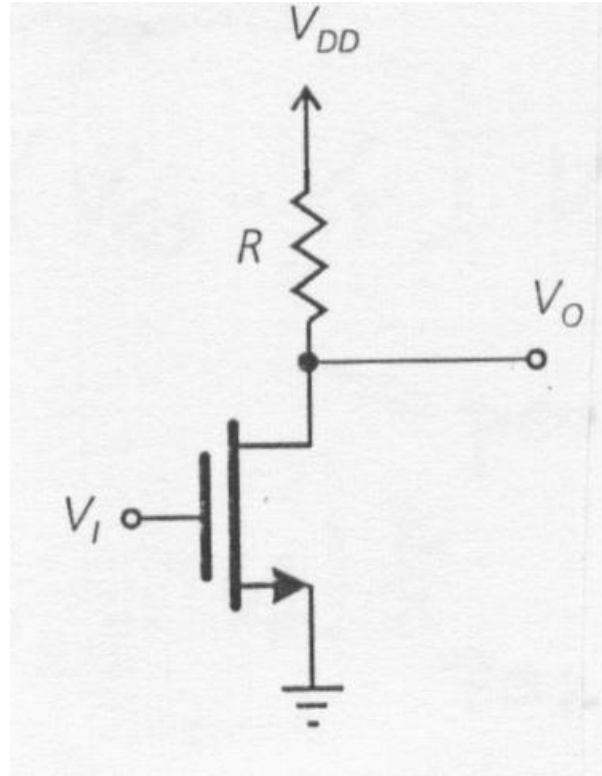
UNIVERSITÀ  
DEGLI STUDI DI TRIESTE



## **I circuiti logici NMOS**

**A.Carini – Elettronica digitale**

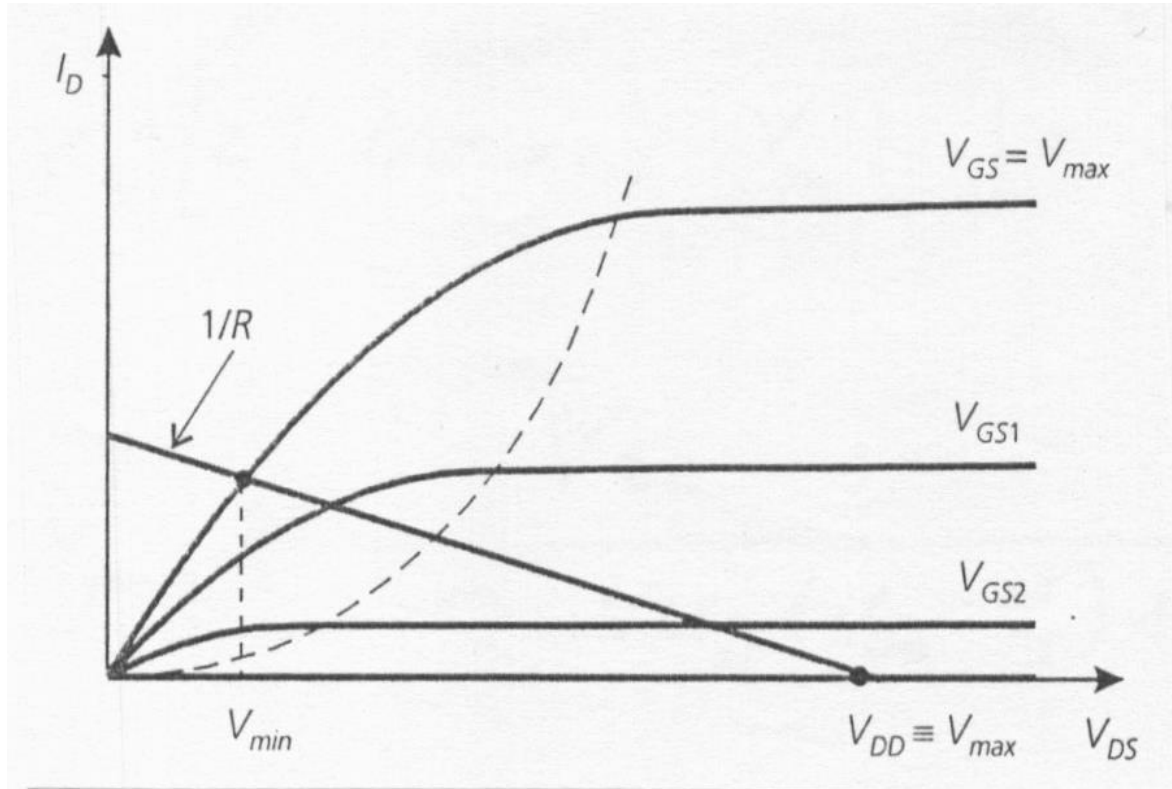
# Invertitore NMOS



## Analisi per via analitica

$$\begin{cases} I_D = f(V_{GS}, V_{DS}) \\ R I_D = V_{DD} - V_{DS} \end{cases}$$

# Analisi per via grafica



## Calcolo di $V_{min}$

$$I_D = K_N \left[ 2(V_{GS} - V_T) V_{DS} - V_{DS}^2 \right] \quad \text{per } V_{DS} < V_{GS} - V_T$$

$$I_D = K_N (V_{GS} - V_T)^2 \quad \text{per } V_{DS} \geq V_{GS} - V_T$$

Poniamo  $V_I = V_{GS} = V_{DD}$

e calcoliamo  $V_{min} = V_O = V_{DS}$

Ipotesi:  $V_{min} = V_{DS} \ll 2(V_{GS} - V_T)$

Da cui  $I_D = K_N 2(V_{GS} - V_T) V_{DS}$

## Calcolo di $V_{\min}$

Poichè  $R I_D = V_{DD} - V_{DS}$

$$K_N 2(V_{GS} - V_T) V_{DS} = \frac{V_{DD} - V_{DS}}{R}$$

$$V_{\min} = V_{DS} = \frac{V_{DD}}{2 K_N (V_{GS} - V_T) R + 1}$$

## Progetto della resistenza R

Consideriamo:

$$\left. \begin{array}{l} k_n = 50 \mu\text{A} / \text{V}^2 \\ W/L = 2 \end{array} \right\} K_N = 100 \mu\text{A} / \text{V}^2$$

$$V_T = 1 \text{ V}$$

$$V_{DD} = 5 \text{ V}$$

Imponiamo:

$$V_{\min} = 0.2 \text{ V}$$

Si ottiene:

$$R = 30 \text{ k}\Omega$$

## Progetto della resistenza R

Per realizzare:  $R = 30 \text{ k}\Omega$

Utilizziamo area drogata con resistenza  $50 \Omega/\square$

$$L = 600 \text{ W}$$

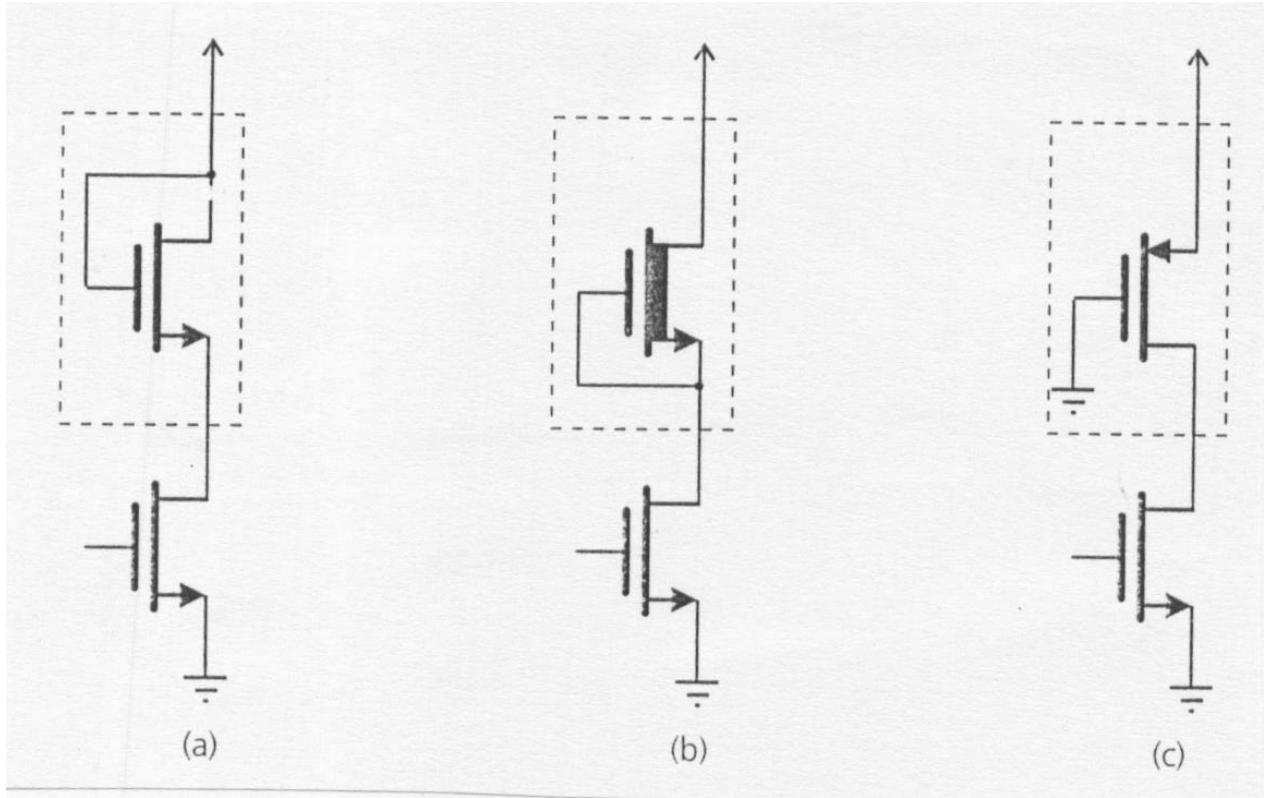
Detta  $\lambda$  minimum-feature-size

Minima dimensione di una resistenza:  $3 \lambda$

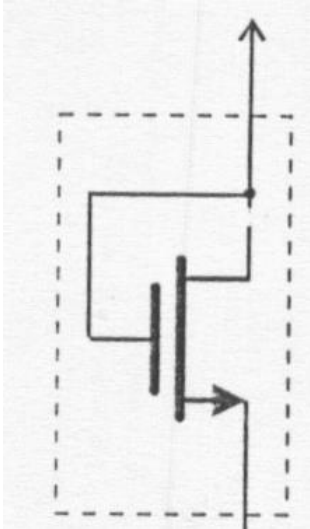
Minima area di gate:  $2 \lambda \times 3 \lambda$

Minima area resistenza da 30 kOhm:  $1800 \lambda \times 3 \lambda$  !!!

# Invertitore NMOS con carico attivo



## NMOS ad arricchimento

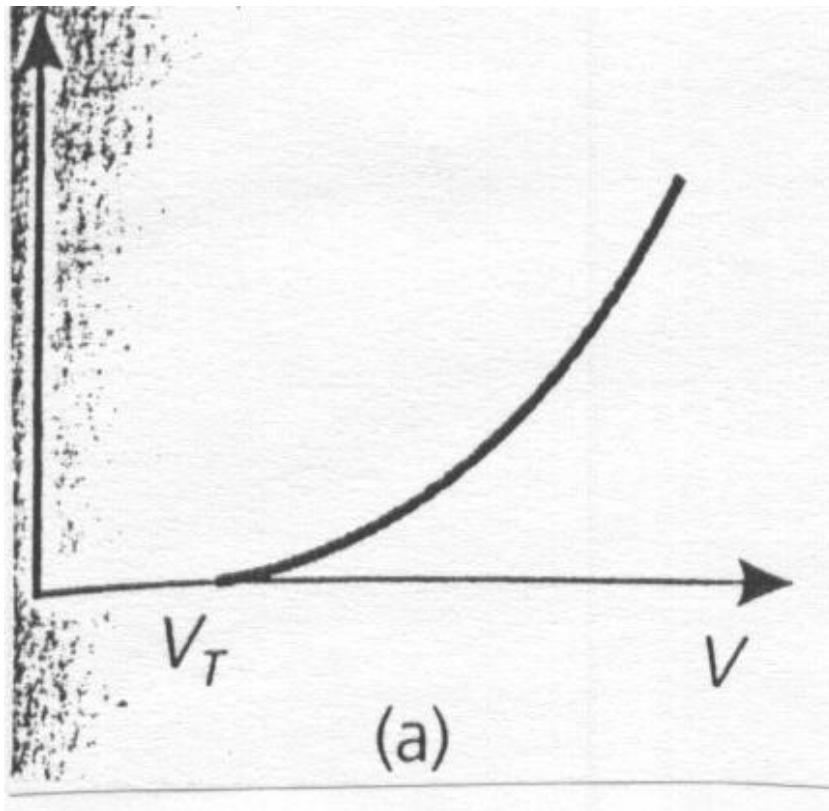


$$V_{DG} = 0$$

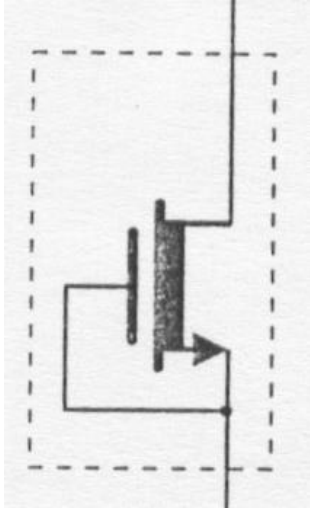
$$V = V_{DS} = V_{GS}$$

$$I = I_D = K_N (V - V_T)^2$$

# NMOS ad arricchimento



## NMOS a svuotamento



$$V_{GS} = 0$$

$$V_{GS} - V_{TD} = |V_{TD}|$$

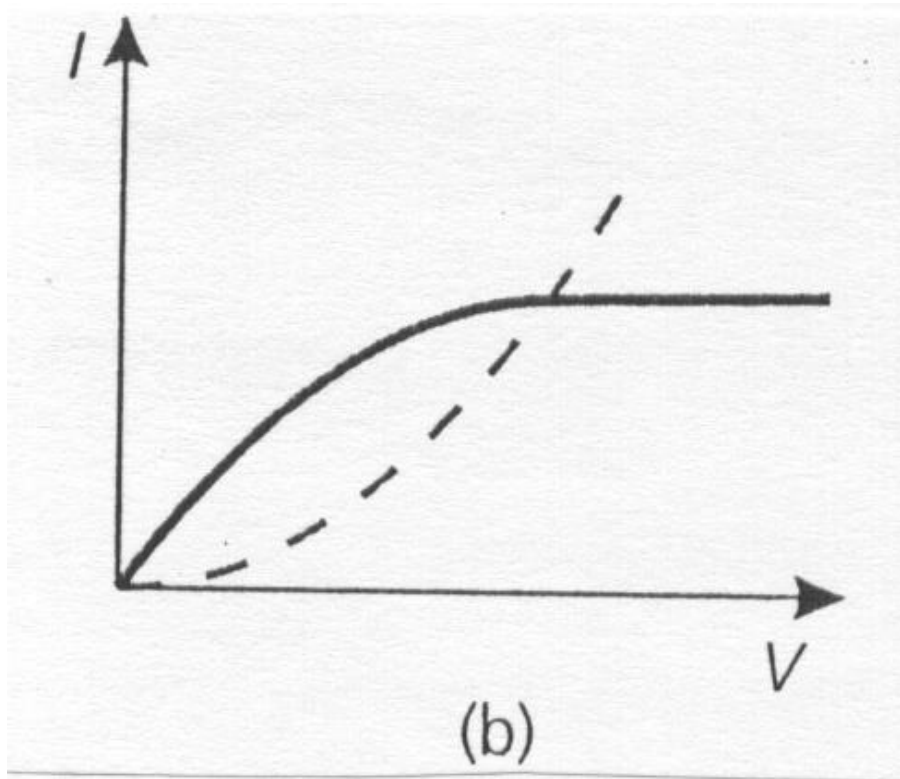
$$I_D = K_N \left[ 2|V_{TD}| V_{DS} - V_{DS}^2 \right]$$

$$\text{per } V_{DS} < |V_{TD}|$$

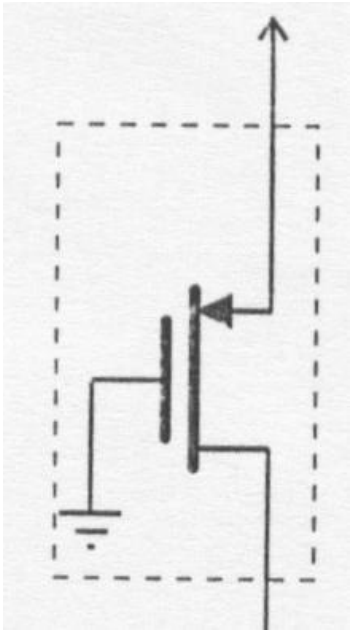
$$I_D = K_N |V_{TD}|^2$$

$$\text{per } V_{DS} \geq |V_{TD}|$$

## NMOS a svuotamento



## PMOS ad arricchimento



$$|V_{GS}| = V_{DD}$$

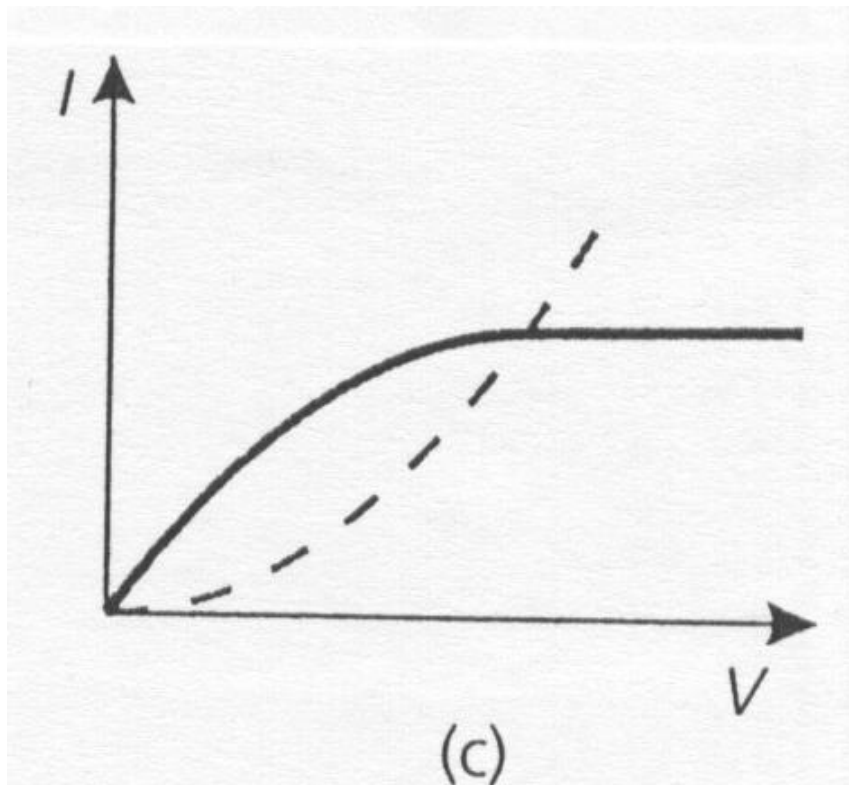
$$I_D = K_P \left[ 2(V_{DD} - |V_{TP}|) |V_{DS}| - |V_{DS}|^2 \right]$$

per  $|V_{DS}| < V_{DD} - |V_{TP}|$

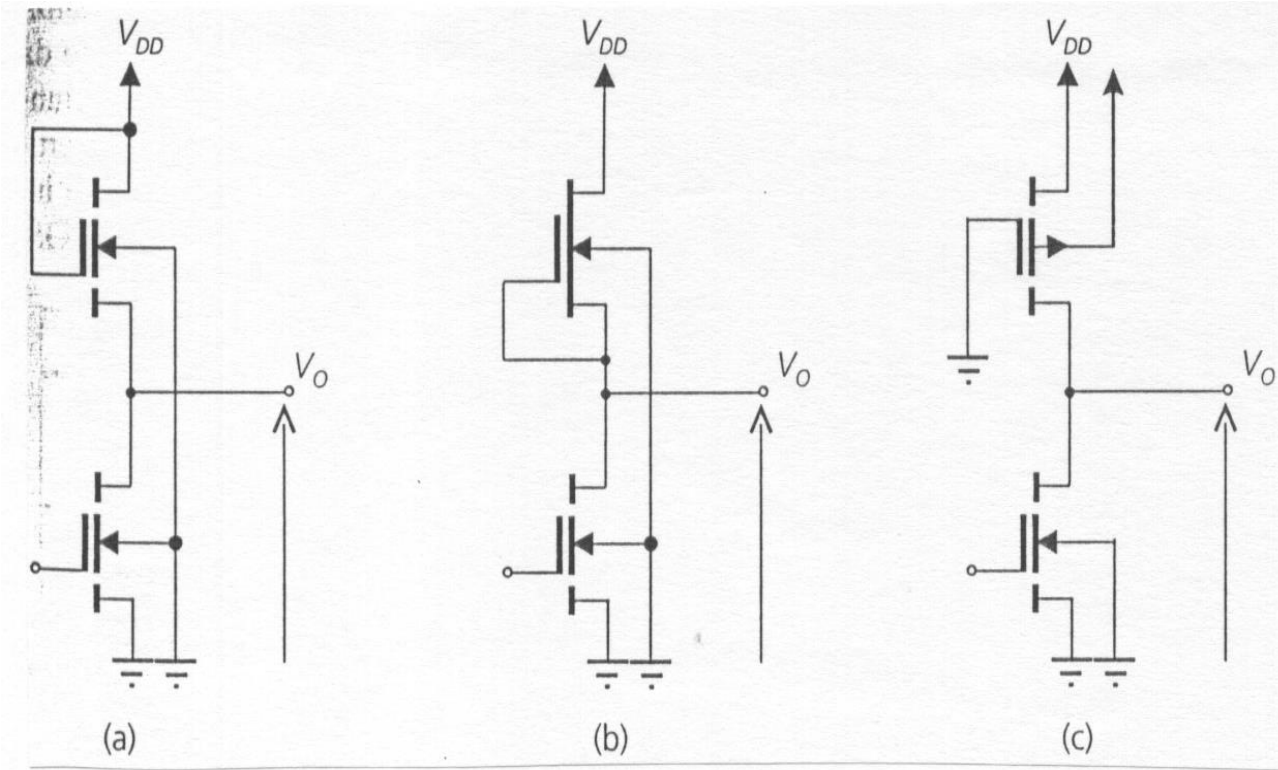
$$I_D = K_P (V_{DD} - |V_{TP}|)^2$$

per  $|V_{DS}| \geq V_{DD} - |V_{TP}|$

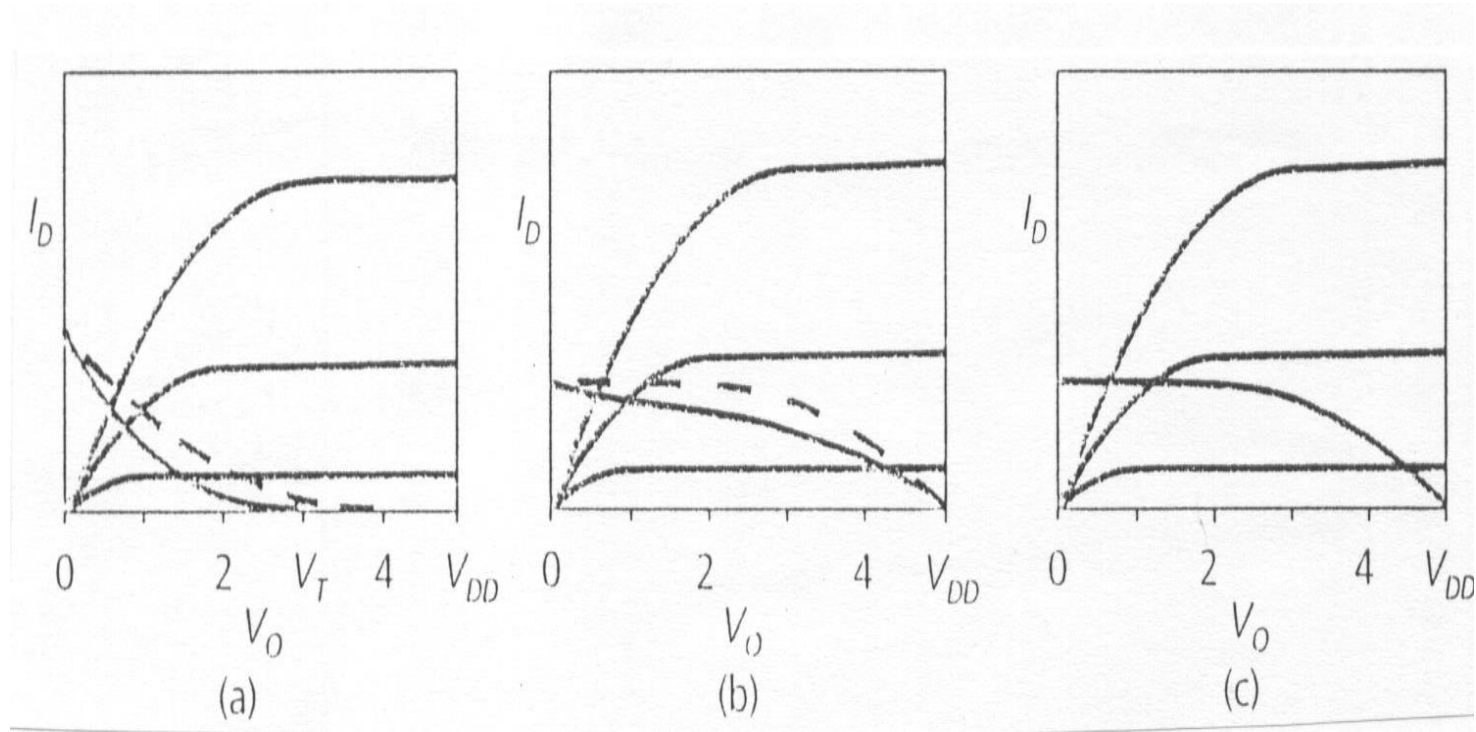
## PMOS ad arricchimento



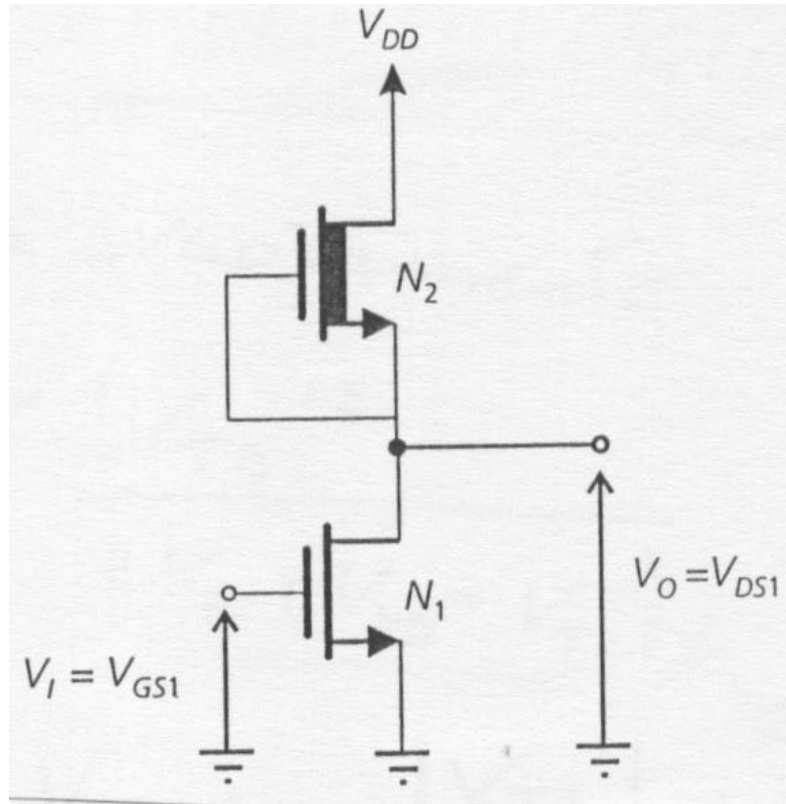
# Invertitore con carico attivo



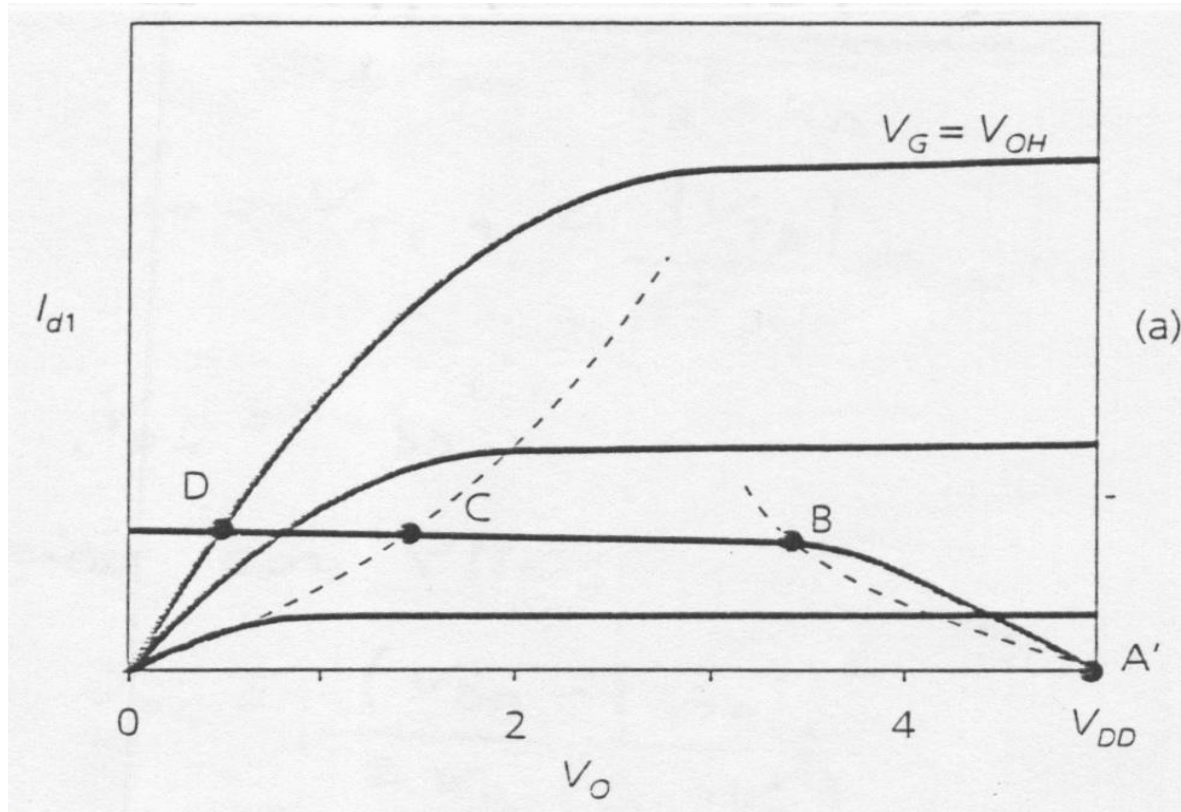
# Invertitore con carico attivo



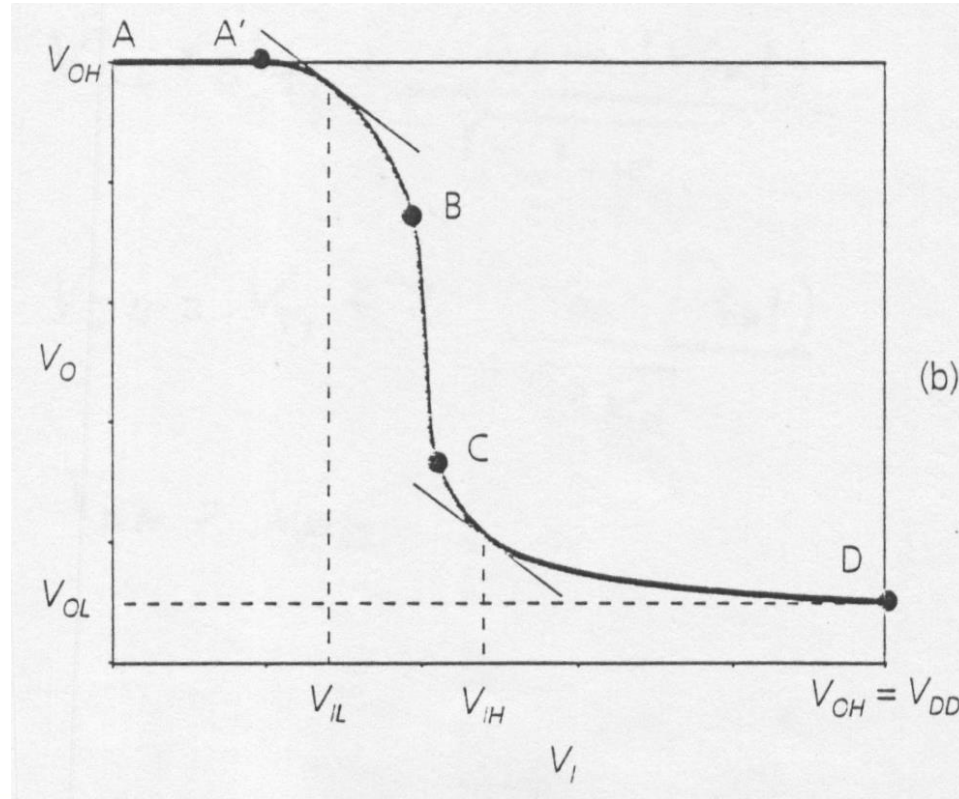
# Caratteristica di trasferimento



# Caratteristica di trasferimento



# Caratteristica di trasferimento



## Caratteristica di trasferimento

A – A' : N1 interdetto, N2 in r. di triodo

$$V_I < V_T, \quad V_O = V_{DD}$$

A' – B : N1 in r. di pinch-off, N2 in r. di triodo

B – C : N1 ed N2 in r. di pinch-off

C – D : N1 in r. di triodo, N2 in r. di pinch-off

## Livelli logici con NMOS a svuotamento

$$V_{OL} \cong \frac{|V_{TD}|^2}{2K_R(V_{DD} - V_{T1})}$$

$$V_{IL} = V_{T1} + \frac{|V_{TD}|}{\sqrt{K_R^2 + K_R}}$$

$$V_{IH} = V_{T1} + 2 \frac{|V_{TD}|}{\sqrt{3K_R}}$$

$$V_{OH} = V_{DD}$$

$$K_R = \frac{K_1}{K_2}$$

## Livelli logici con PMOS ad arricchimento

$$V_{OL} \cong \frac{(V_{DD} - |V_{TP}|)^2}{2 K_R (V_{DD} - V_{T1})}$$

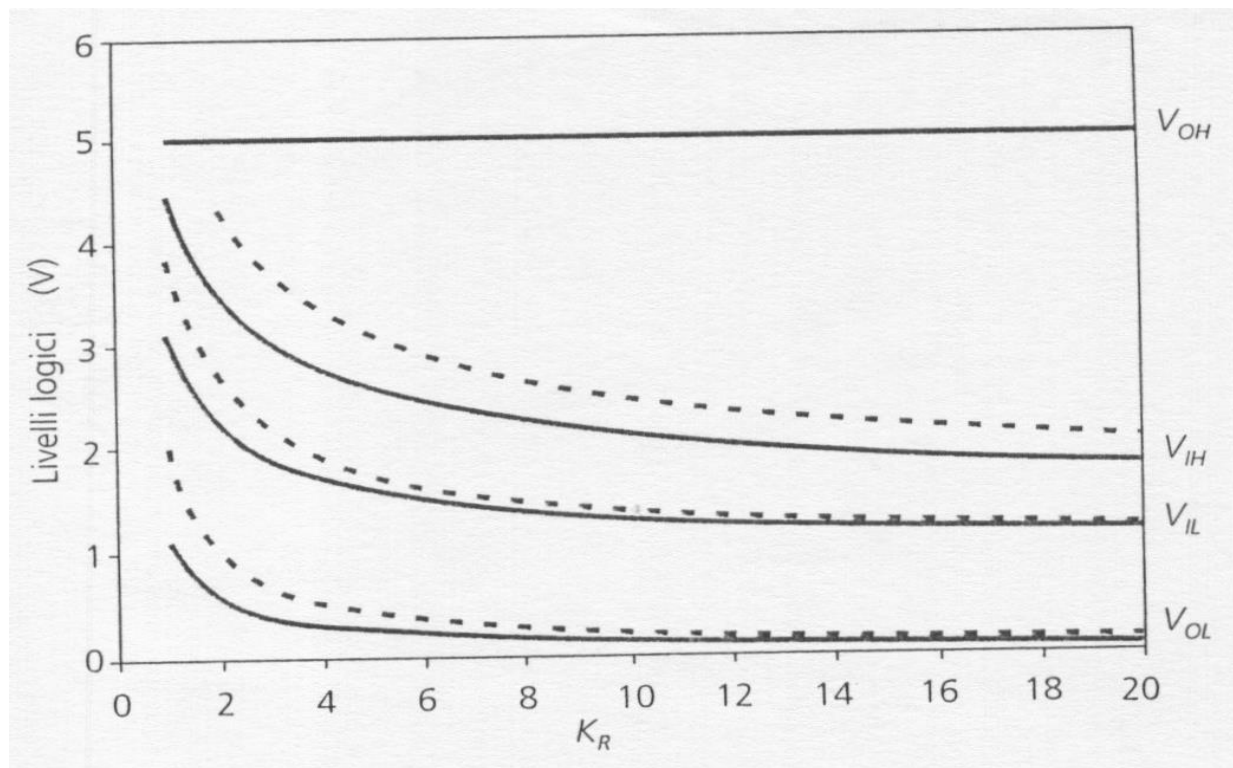
$$V_{IL} = V_{T1} + \frac{(V_{DD} - |V_{TP}|)}{\sqrt{K_R^2 + K_R}}$$

$$V_{IH} = V_{T1} + 2 \frac{(V_{DD} - |V_{TP}|)}{\sqrt{3 K_R}}$$

$$V_{OH} = V_{DD}$$

$$K_R = \frac{K_1}{K_2}$$

# Livelli logici



## $K_R$

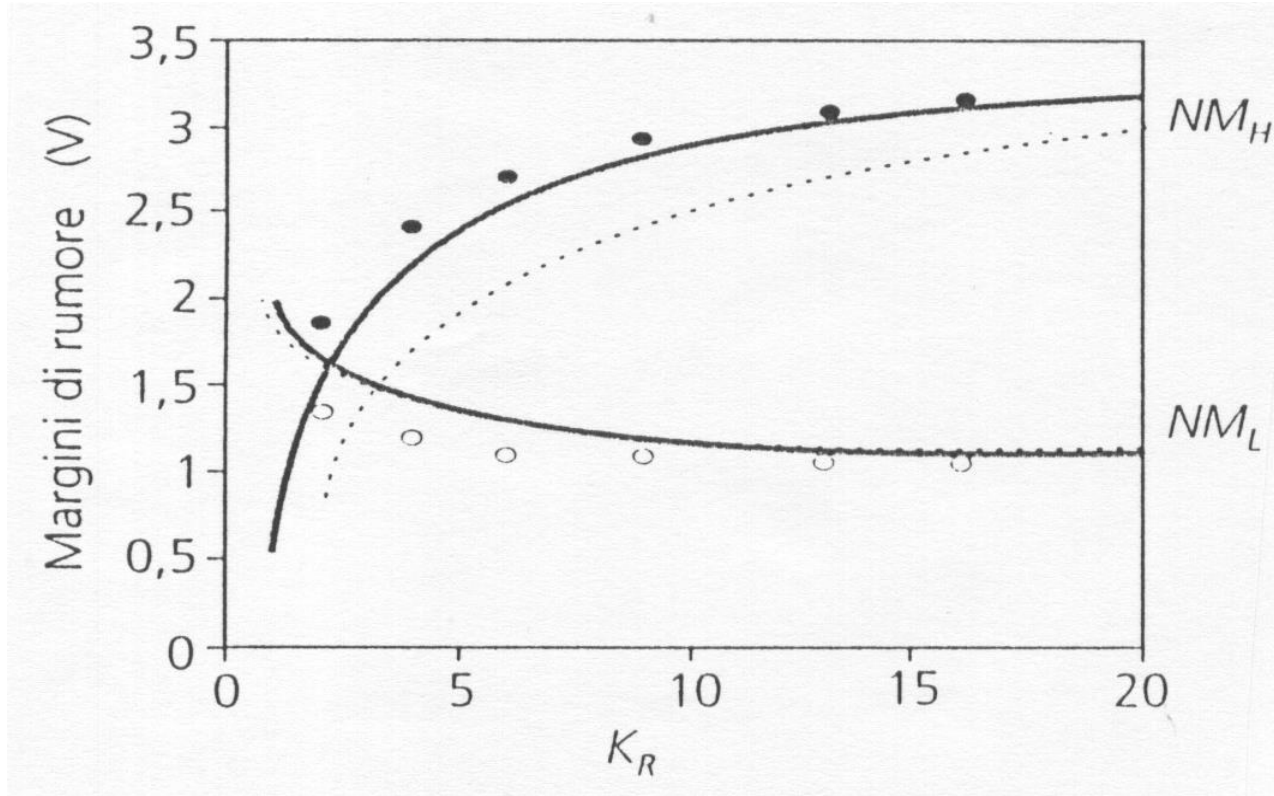
- Invertitore con carico NMOS a svuotamento

$$K_{R,N} = \frac{K_1}{K_2} = \frac{W_1}{W_2} \frac{L_2}{L_1}$$

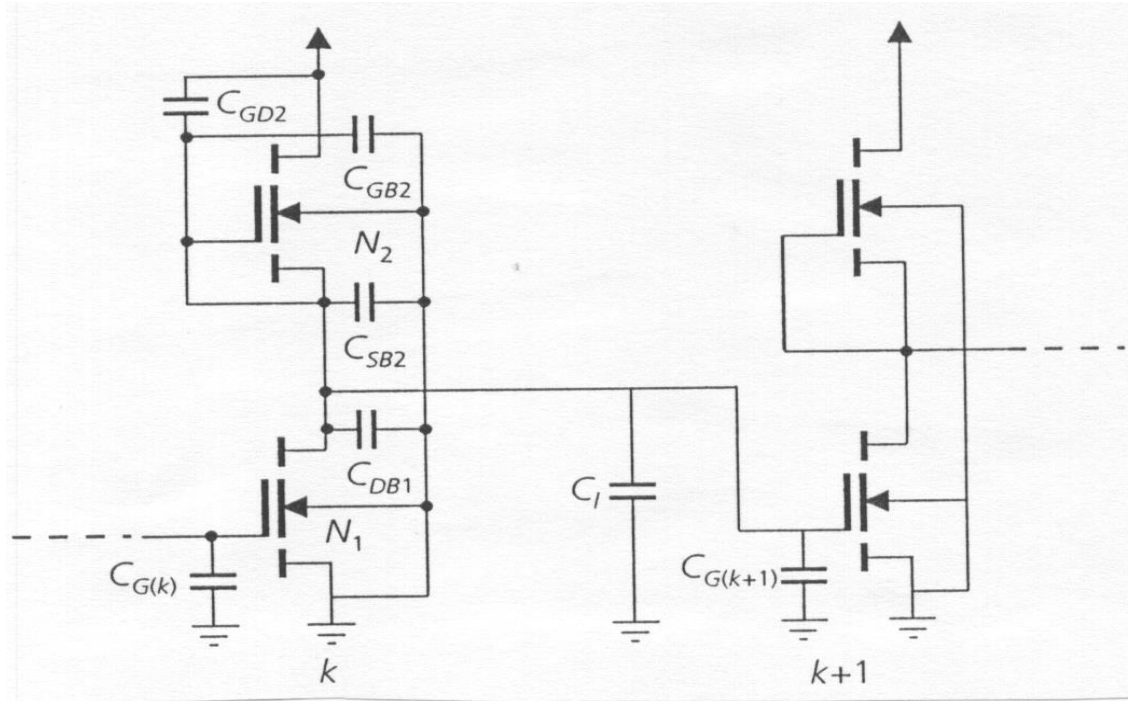
- Invertitore con carico PMOS ad arricchimento

$$K_{R,P} = \frac{K_1}{K_2} = \frac{\mu_N}{\mu_P} \frac{W_1}{W_2} \frac{L_2}{L_1} \cong 2,5 \frac{W_1}{W_2} \frac{L_2}{L_1}$$

# Margini di rumore

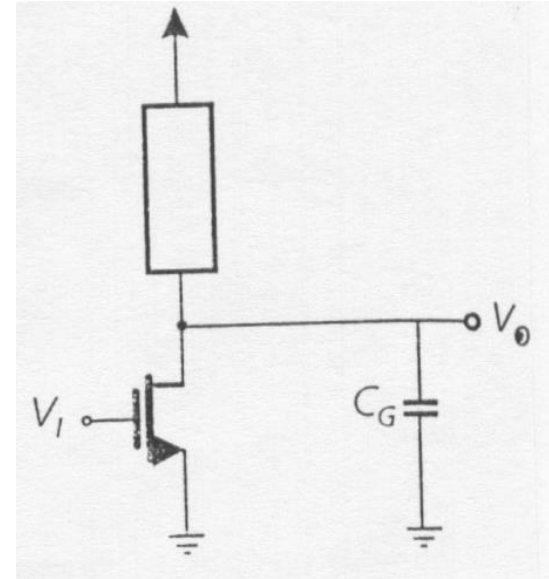
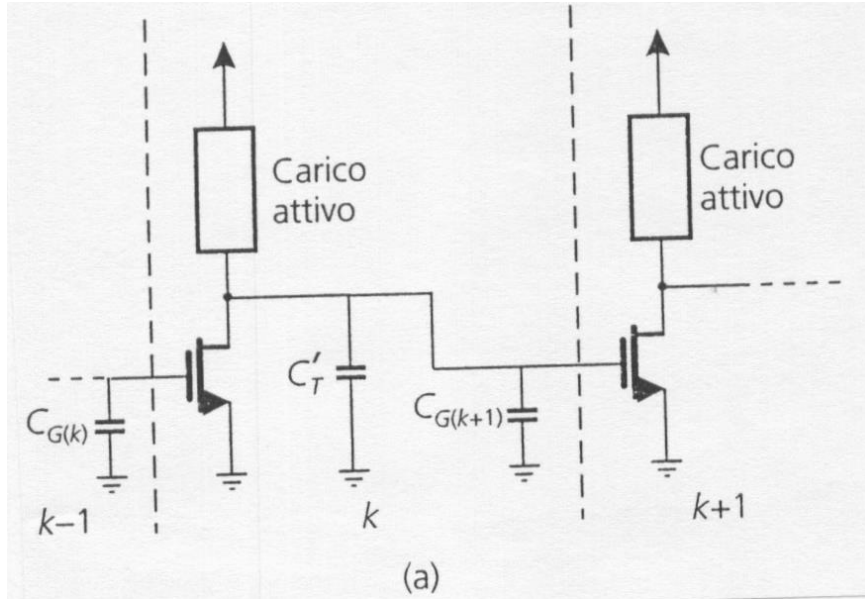


# Capacità del circuito



$$C_G = C_{GS} + C_{GB} + C_{GD}$$

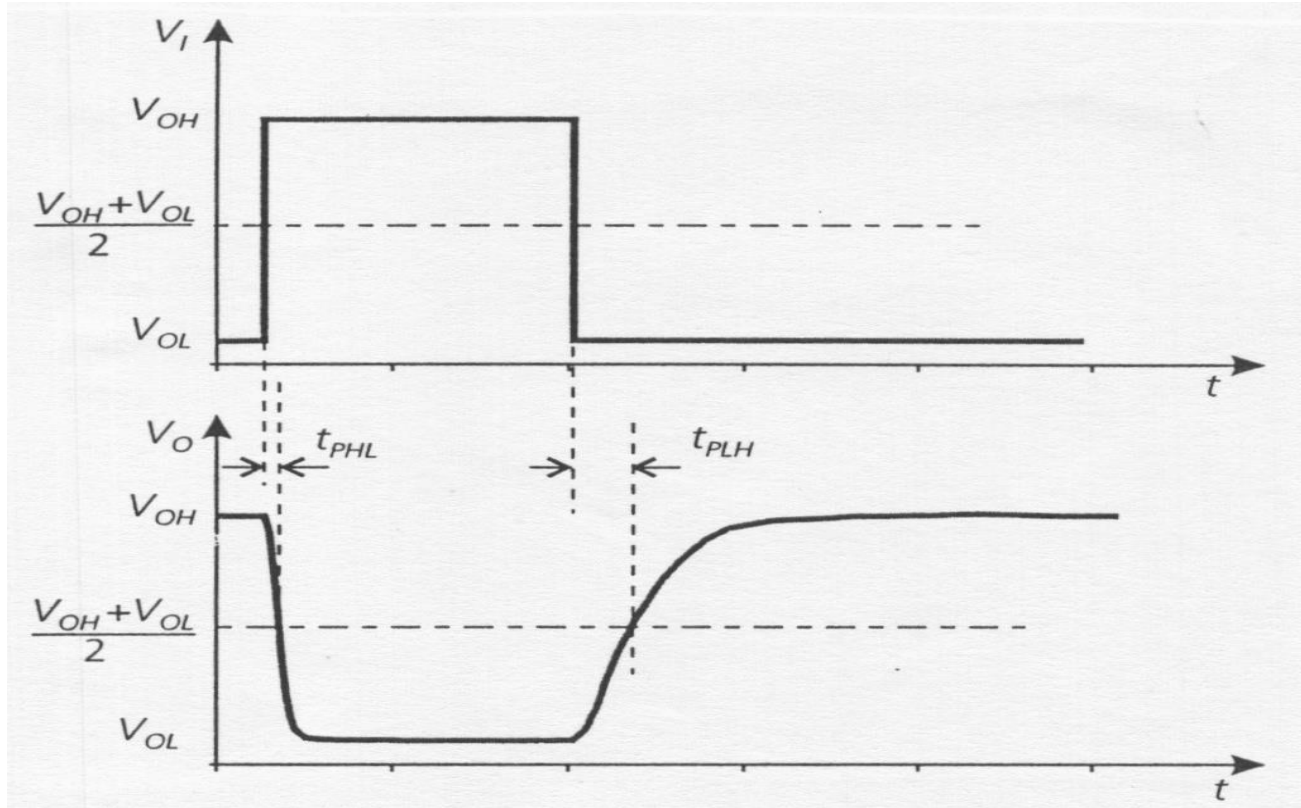
## Capacità del circuito



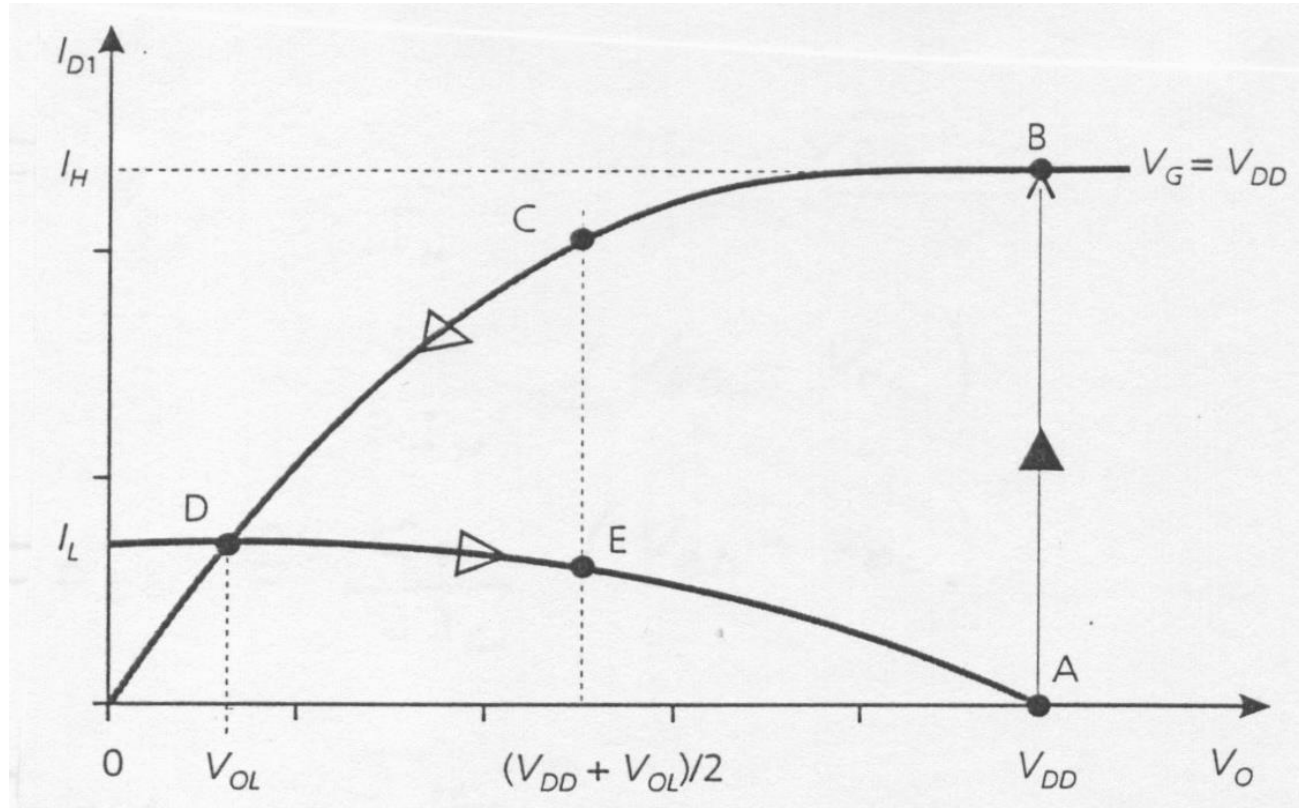
$$C_{T,NMOS} = C_{DB1} + C_{SB2} + C_{GD2} + C_{GB2} + C_l + C_{G(K+1)}$$

$$C_{T,pNMOS} = C_{DB1} + C_{DB2} + C_{GD2} + C_l + C_{G(K+1)}$$

# Tempi di propagazione



# Analisi grafica



## Tempi di propagazione - calcolo

$$i(t) = C_T \frac{dV}{dt} \quad \longrightarrow \quad dt = C_T \frac{dV}{i(t)}$$

$$t_{PHL} = C_T \int_{V_{DD}}^{V^*} \frac{1}{i_C} dV_o = C_T \int_{V_{DD}}^{V^*} \frac{1}{-i_{N1} + i_{N2}} dV_o$$

$$t_{PLH} = C_T \int_{V_{OL}}^{V^*} \frac{1}{i_C} dV_o = C_T \int_{V_{OL}}^{V^*} \frac{1}{i_{N2}} dV_o$$

Dove: 
$$V^* = \frac{V_{OL} + V_{OH}}{2}$$

## Tempi di propagazione - calcolo

$$t_P = \frac{1}{2} (t_{PHL} + t_{PLH}) \cong \frac{t_{PLH}}{2} = \frac{C_T}{4I_L} (V_{DD} - V_{OL})$$

Invertitore NMOS:

$$t_P \cong \frac{t_{PLH}}{2} = \frac{C_T}{4K_2} \frac{(V_{DD} - V_{OL})}{|V_{TD}|^2}$$

Invertitore pseudo-NMOS:

$$t_P \cong \frac{t_{PLH}}{2} = \frac{C_T}{4K_2} \frac{(V_{DD} - V_{OL})}{(V_{DD} - |V_{TP}|)^2}$$

## Potenza dissipata

$$V_I = V_{OL}$$



$$P_D = 0$$

$$V_I = V_{OH}$$



$$P_D = I_{D2}(V_{OL}) V_{DD}$$

$$P_{D,media} = \frac{I_{D2}(V_{OL}) V_{DD}}{2}$$

Invertitore NMOS:

$$P_D = \frac{K_2}{2} |V_{TD}|^2 V_{DD}$$

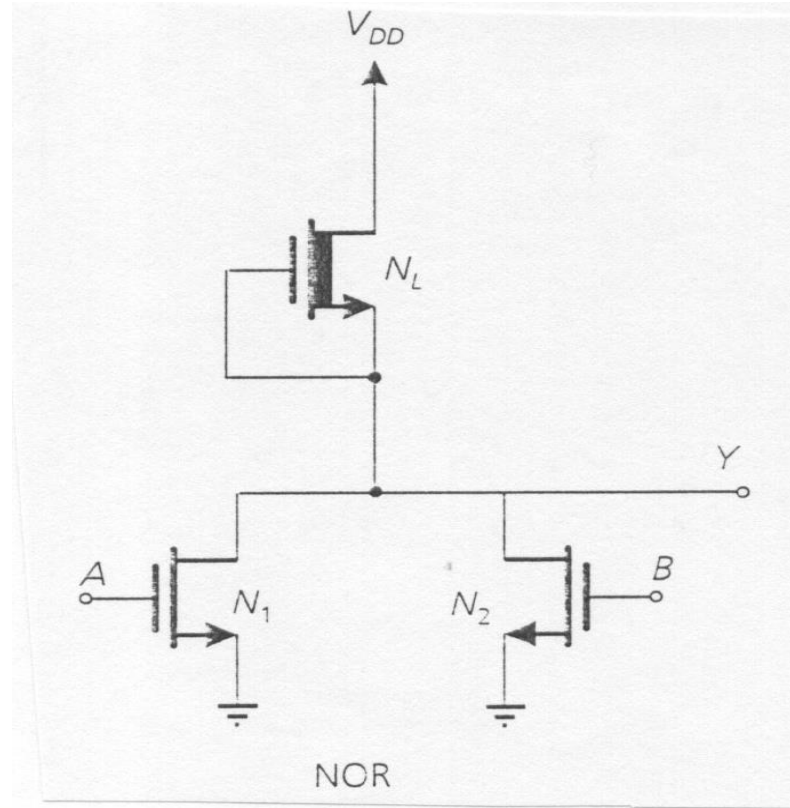
Invertitore pseudo-NMOS:

$$P_D = \frac{K_2}{2} (V_{DD} - |V_{TP}|)^2 V_{DD}$$

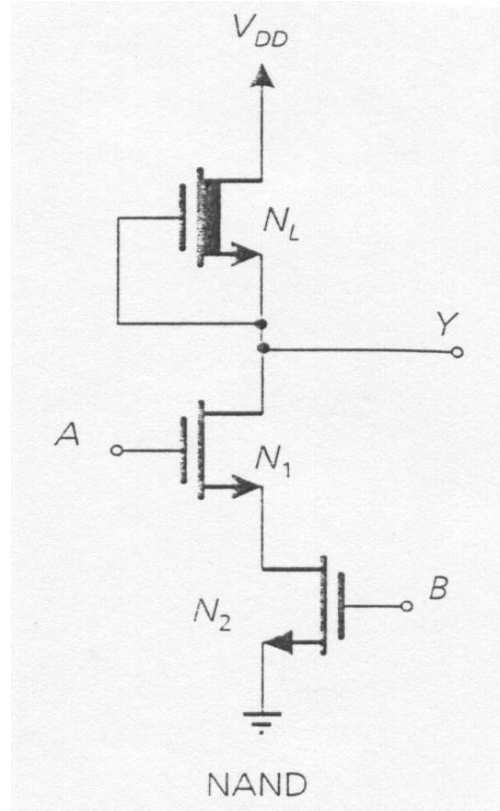
## Prodotto Ritardo Potenza

$$\begin{aligned} P_D \cdot t_P = P \cdot D &= \frac{C_T}{8} (V_{DD} - V_{OL}) V_{DD} \\ &\approx \frac{C_T}{8} V_{DD}^2 \end{aligned}$$

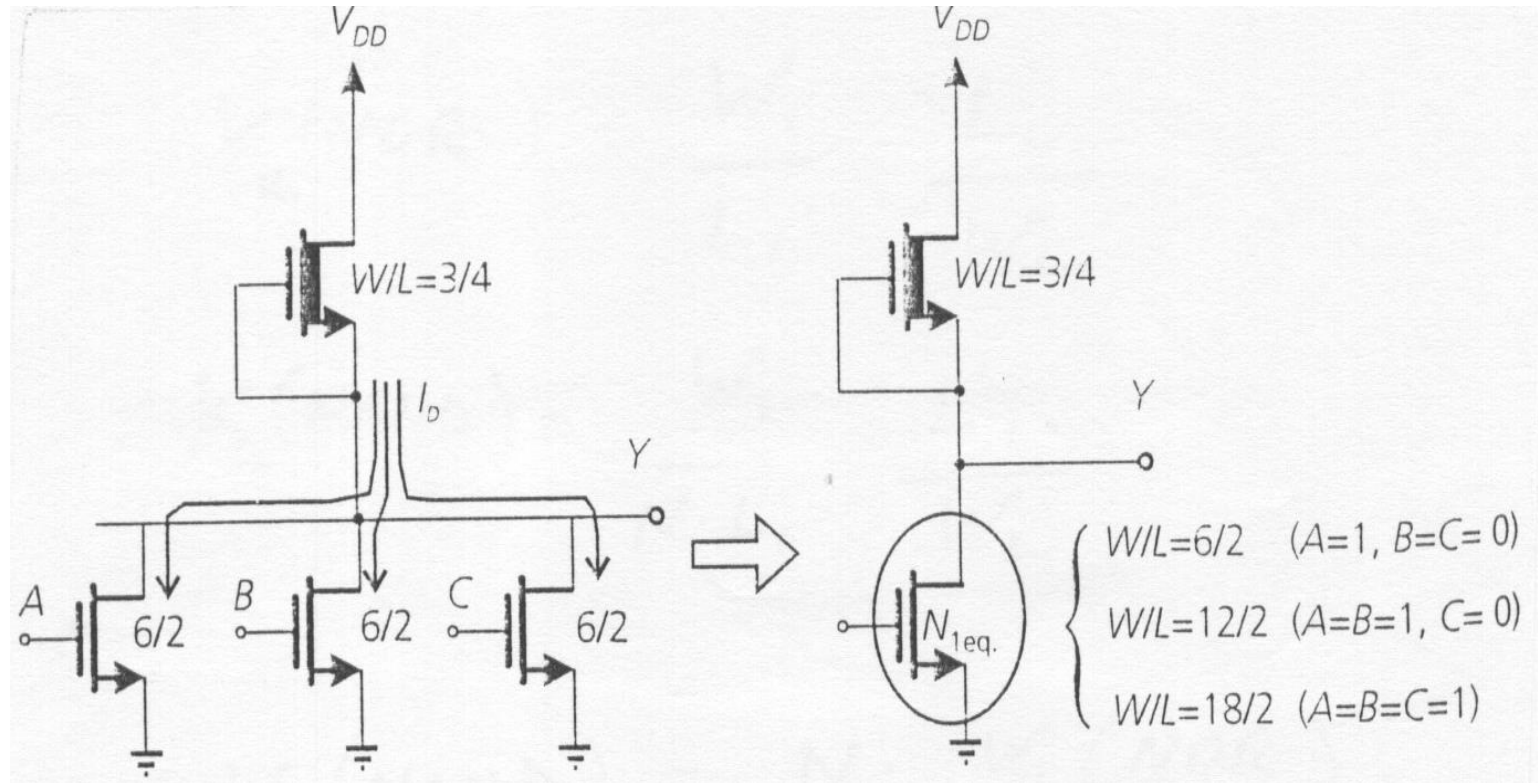
# Porta NOR NMOS



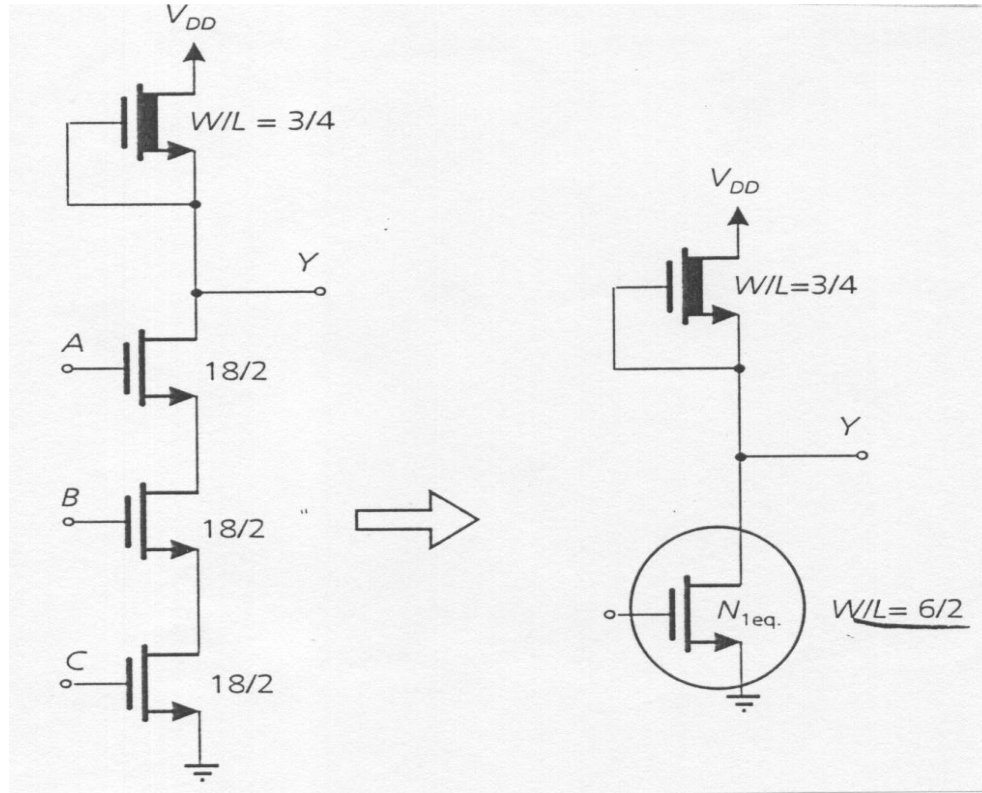
# Porta NAND NMOS



# Dimensionamento dei MOS



# Dimensionamento dei MOS



## Confronto NOR - NAND

$$V_{OL(W.C.)} \Big|_{NOR} \quad \longrightarrow \quad \frac{W_1}{L_1} \frac{L_2}{W_2} = K_R (NOR)$$

$$V_{OL} \Big|_{NAND} \quad \longrightarrow \quad \frac{W_1}{N L_1} \frac{L_2}{W_2} = K_R (NAND)$$

A parità di prestazioni statiche, ovvero di  $V_{OL}$

$$W_{1,NAND} = N W_{1,NOR}$$

# FAN-OUT e FAN-IN

- FAN-OUT
  - Limitazioni dovute alle prestazioni dinamiche ed all'aumento del carico capacitivo in uscita
  - 5 – 6 porte
- FAN-IN
  - Infinito per le porte NOR
  - 5 – 6 ingressi per le NAND a causa dell'aumento della capacità di gate con il numero degli ingressi

## Vedere:

- Paolo Spirito, “Elettronica Digitale”, Ed. McGraw-Hill
  - Cap. 4.1-4.6
  - Cap. 4.8-4.14